

07; 12

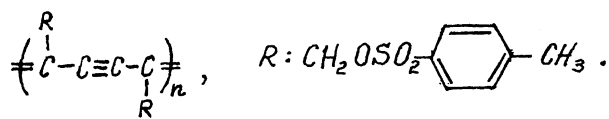
© 1992

ИЗМЕРЕНИЕ КУБИЧЕСКОЙ НЕЛИНЕЙНОСТИ
В ПОЛИДИАЦЕТИЛЕНЕ МЕТОДОМ ДИФРАКЦИИ
РАМАНА-НАТТА

Г.А. Виноградов, Б.Я. Зельдович,
А.М. Котегов, А.Н. Чудинов

Полидиацетилены привлекают к себе все большее внимание в связи с использованием их в качестве логических элементов оптического компьютера, конструирования на их основе элементов интегральной оптики и др. Такое широкое и перспективное направление их использования основано на следующих свойствах, присущих полидиацетиленам: высокое значение нерезонансной нелинейно-оптической восприимчивости третьего порядка $\chi^{(3)}$ со сверхбыстрым временем отклика (менее 1 пс). Кроме того, материал является достаточно пластичным, что позволяет придать конструируемому элементу требуемую форму [1].

Одним из наиболее широко используемым и исследуемым полидиацетиленом является бис-*n*-толисульфонат гекса-2,4-диин-1,6-диол, сокращенно *PTS*. Структурная формула *PTS* следующая:

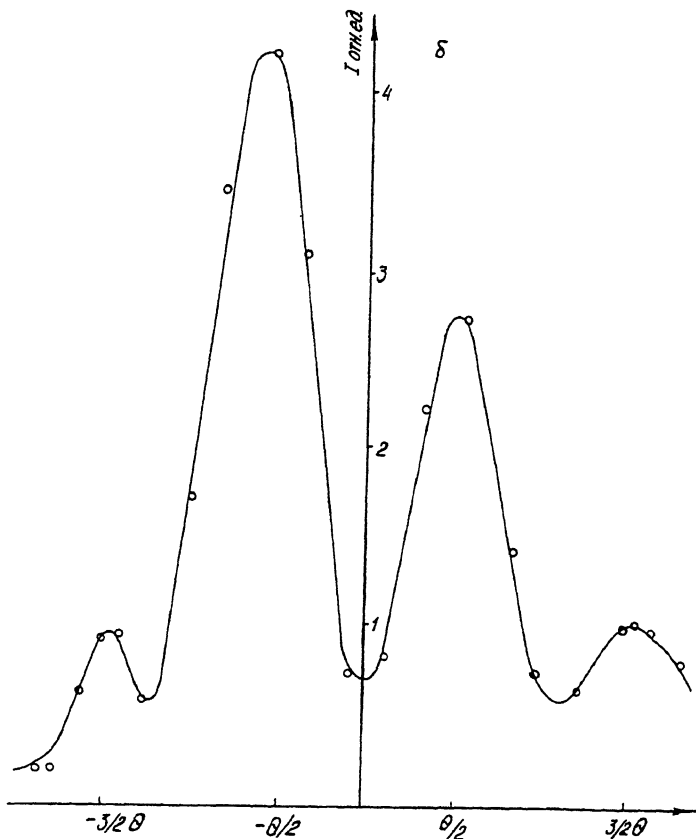
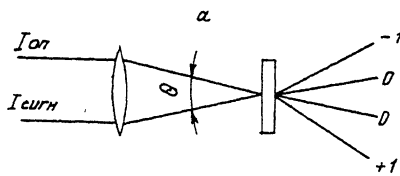


Как и все полидиацетилены, кристалл полимера *PTS* принадлежит к группе симметрии C_{2h} . В настоящее время хорошо отложенная методика роста кристаллов *PTS* позволяет получать кристаллы полимера до нескольких миллиметров толщиной [1].

Нелинейно-оптические свойства кристалла-полимера *PTS* исследовались довольно широко. Для измерения нелинейно-оптической восприимчивости в основном использовался метод генерации третьей гармоники [2]. Поворачивая образец в различных плоскостях, по угловым зависимостям майкеровских осцилляций определялся тензор величины $\chi^{(3)}$. Некоторые исследователи изучали восприимчивость $\chi^{(3)}$ в видимой области как функцию частоты по четырехволновому смешению [1] с помощью фотоакустической спектроскопии [3] и по двухволновому смешению задерживая один из лучей [4].

К сожалению, различные методы измерения дают плохо согласующие результаты. Поэтому получение величины $\chi^{(3)}$ и оценка ее анизотропии новым независимым методом представляется важным.

В данной работе для измерения величины нелинейнооптической восприимчивости кристалла полимера *PTS* мы воспользовались



а – экспериментальная схема, б – угловая зависимость распределения дифрагированного излучения в дальнейшей зоне.

методикой, основанной на дифракции Рамана–Натта и развитой для измерения нелинейного показателя преломления в полупроводниках [5]. Схема экспериментальной установки представлена на рисунке (а). В эксперименте использовался $YAG:Nd^{3+}$ лазер с пассивной синхронизацией мод. Длительность отдельного пучка в пути импульсов была около 50 пс. Излучение лазера делилось полупрозрачным

зеркалом на 2 пучка, сигнальный I_c и опорный I_o . После отражения сигнального пучка от глухого зеркала оба пучка I_c и I_o направлялись на линзу с фокусным расстоянием $f = 85$ см.

С помощью оптической задержки в опорном пучке мы добивались одновременно прихода импульсов I_c и I_o на образец, который находился в фокусе линзы. Отношение интенсивностей I_c/I_o на входе кристалла было 0.85. Угол схождения сигнального и опорного пучков был $\theta_c = 4 \cdot 10^{-3}$ рад. Выбор угла схождения определялся условием наблюдения дифракции Рамана-Натта: $\sin(\theta_c/2) \ll (\lambda/h \cdot n)^{1/2}$, где λ – длина волн лазера в вакууме, $\lambda = 1.064$ мкм, n – показатель преломления кристалла PTS ; h – толщина образца, в нашем случае $h = 300$ мкм.

Для регистрации дифрагированного излучения использовался фотодиод (ФД24К) с щелевой диафрагмой. Ширина щели была 200 мкм. Фотодиод вместе с диафрагмой мог перемещаться в плоскости схождения пучков.

На рисунке внизу представлена экспериментально полученная угловая зависимость распределения интенсивности дифрагированных пучков в дальней зоне за образцом. Интенсивности пучков даны в относительных единицах. Направление векторов поляризации пучков I_o и I_c было параллельно нитям полимеризации кристалла PTS . На графике хорошо видны нулевой и ± 1 порядки дифракции. Помимо этого, заметна перекачка энергии от накачки к сигнальному в нулевом порядке. Энергетическая дифракционная эффективность, η_{PTS} определенная из полученной зависимости, была 28%.

Для того, чтобы вычислить из полученных данных кубическую нелинейность $\chi_{PTS}^{(3)}$, мы провели аналогичный эксперимент для тонкого образца CdS . Кубическая нелинейность данного материала высокая: $\chi_{CdS}^{(3)} = 300 \cdot 10^{-12}$ СГСЭ [6, 7]. Энергетическая дифракционная эффективность, при тех же условиях эксперимента, оказалась равной $\eta_{CdS} = 0.8\%$ для образца CdS толщиной $h_{CdS} = 500$ мкм.

Для определения величины $\chi_{PTS}^{(3)}$, решая систему уравнений связанных волн, получаем:

$$\chi_{PTS}^{(3)} = \chi_{CdS}^{(3)} \cdot \frac{h_{CdS}(1-R_{CdS})n_{CdS}^2}{h_{PTS}(1-R_{PTS})n_{PTS}^2} \sqrt{\frac{\eta_{PTS}}{\eta_{CdS}}},$$

где n_{PTS} , n_{CdS} – показатели преломления кристаллов PTS и CdS соответственно, R_{CdS} , R_{PTS} – френелевские потери CdS и PTS соответственно. Подставляя полученные значения, имеем для кубической нелинейности кристалла PTS на длине волны $\lambda = 1.064$ мкм величину $\chi^{(3)} = 6 \cdot 10^{-10}$ СГСЭ. Это значение $\chi_{PTS}^{(3)}$ неплохо согласуется с величиной $\chi_{PTS}^{(3)}$, измеренной в работе [2].

При тех же плотностях мощности и угле схождения пучков I_c и I_o нами измерялась угловая зависимость распределения интен-

сивности дифрагированного излучения в дальней зоне за образцом, когда направление векторов поляризации E_o и E_c было перпендикулярно направлению полимеризации кристалла $P\bar{T}S$. Точность эксперимента не позволила обнаружить рассеяния в ± 1 порядок дифракции. Таким образом, можно заключить, что величина $\chi_{P\bar{T}S}^{(3)}$, когда направление электрического вектора излучения перпендикулярно направлению нитям полимеризации, по крайней мере меньше величины 10^{-11} СГСЭ.

Суммируя, мы измеряли кубическую нерезонансную нелинейность кристалла полимера $P\bar{T}S$ с помощью дифракции Рамана-Натта: $\chi_{xxxx} = 6 \cdot 10^{-10}$ СГСЭ, $\chi_{yyyy} \leq 10^{-11}$ СГСЭ.

С п и с о к л и т е р а т у р ы

- [1] Нелинейные оптические свойства органических молекул и кристаллов. Т. 2/Под ред. Д. Шемлы и Ж. Зисса. М.: Мир, 1989. 248 с.
- [2] Kuboder K. // Nonlinear Optics. 1991. V. 1. P. 71-80.
- [3] Kajzár F., Rothberg L., Ettemad S., Chollet P.A., Crec D., Boundet A., Jedju T. // Opt. Commun. 1988. V. 66. P. 55-59.
- [4] Greene B.L., Orenstein J., Millard R.R., Willioun L.R. // Phys. Rev. Lett. 1987. V. 58. P. 2750-2753.
- [5] Вайткус Ю., Ярашюнас К. // Литовский физ. сб. 1979. Т. XIX. С. 211-232.
- [6] Adair R., Chase L.L., Payne S.A. // Phys. Rev. B. 1989. V. 39B. P. 3337-3350.
- [7] Балтрамеюнас Р., Вайткус Ю., Валецкас Д., Кантураускас И. // Письма в ЖТФ. 1981. Т. 7. С. 364-368.

Челябинский государственный
технический университет

Поступило в Редакцию
27 мая 1992 г.